

# КОРРЕЛЯЦИИ НАПРАВЛЕНИЙ ПРИХОДА КОСМИЧЕСКИХ ЛУЧЕЙ СВЕРХВЫСОКИХ ЭНЕРГИЙ С КРУПНОМАСШТАБНОЙ СТРУКТУРОЙ ВСЕЛЕННОЙ

*А. В. Глушков\*, М. И. Правдин*

*Институт космоморфических исследований и аэрономии Якутского научного центра  
Сибирского отделения Российской академии наук  
677891, Якутск, Россия*

Поступила в редакцию 23 ноября 2000 г.

Приведены результаты анализа направлений прихода космических лучей с энергиями  $E_0 \geq 4 \cdot 10^{17}$  эВ и зенитными углами  $\theta \leq 45^\circ$ , зарегистрированных на Якутской установке за период 1974–2000 гг. Показано, что из плоскости Галактики при  $E_0 \approx (2\text{--}4) \cdot 10^{18}$  эВ и из плоскости Сверхгалактики при  $E_0 \geq 8 \cdot 10^{18}$  эВ наблюдаются повышенные потоки частиц с превышением над ожидаемыми уровнями для случайных распределений на  $(4\text{--}5)\sigma$ .

PACS: 96.40.-z, 98.70.-f

## 1. ВВЕДЕНИЕ

Поиск источников космических лучей сверхвысоких энергий ( $E_0 \geq 10^{17}$  эВ) является трудной задачей астрофизики. Исследования в этом направлении ведутся во всем мире более 40 лет, но до сих о них мало что известно. В глобальном масштабе космические лучи не противоречат изотропному распределению, хотя в области предельно высоких энергий ( $E_0 \geq 10^{19}$  эВ) существует слабая корреляция направлений прихода с плоскостью Галактики (см., например, [1, 2]), а также с плоскостью Сверхгалактики [3, 4]. В работах [5, 6] сообщается об обнаружении кластеров в направлениях прихода первичных частиц с энергиями  $E_0 \geq 10^{19}$  эВ. Найдена даже корреляция отдельных кластеров с пульсарами, расположеннымими в стороне входа Местного рукава Галактики [5]. Имеются также некоторые указания [7, 8], что источниками космических лучей предельно высоких энергий могут быть галактики с активными ядрами.

В работе [9] показано, что частицы с энергиями  $E_0 \geq 10^{19}$  эВ из экваториальной области Сверхгалактики имеют не только более высокий по сравнению с другими направлениями поток, но и переменную во времени интенсивность. В этой рабо-

те приведены экспериментальные результаты, которые проливают дополнительный свет на проблему происхождения космических лучей сверхвысоких энергий.

## 2. ИССЛЕДУЕМЫЕ ХАРАКТЕРИСТИКИ И ОБСУЖДЕНИЕ

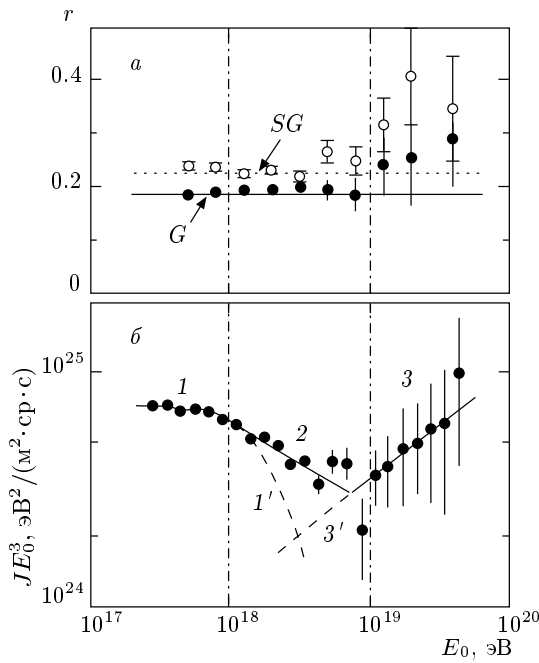
Ниже рассмотрены широкие атмосферные ливни (ШАЛ) с энергиями  $E_0 \geq 4 \cdot 10^{17}$  эВ и зенитными углами  $\theta \leq 45^\circ$ , зарегистрированные на Якутской установке за период 1974–2000 гг. Исследованы корреляции направлений их прихода с плоскостями Галактики и Сверхгалактики. В анализ вошли ШАЛ, направления прихода которых находились по данным пяти и более станций, а оси попали в центральный круг установки с радиусом  $\leq 1700$  м. Эти события дают минимальные ошибки при нахождении основных параметров ШАЛ (направление прихода, координаты оси,  $E_0$  и др.). Энергия первичных частиц находилась из соотношений

$$E_0 [\text{эВ}] = (4.8 \pm 1.6) \cdot 10^{17} (\rho_{s,600}(0^\circ))^{1.0 \pm 0.02}, \quad (1)$$

$$\rho_{s,600}(0^\circ) [\text{м}^{-2}] = \rho_{s,600}(\theta) \exp \left[ (\sec \theta - 1) \frac{1020}{\lambda_\rho} \right], \quad (2)$$

$$\lambda_\rho [\text{г/см}^2] = (450 \pm 44) + (32 \pm 15) \lg(\rho_{s,600}(0^\circ)), \quad (3)$$

\*E-mail: a.v.glushkov@ikfia.ysn.ru

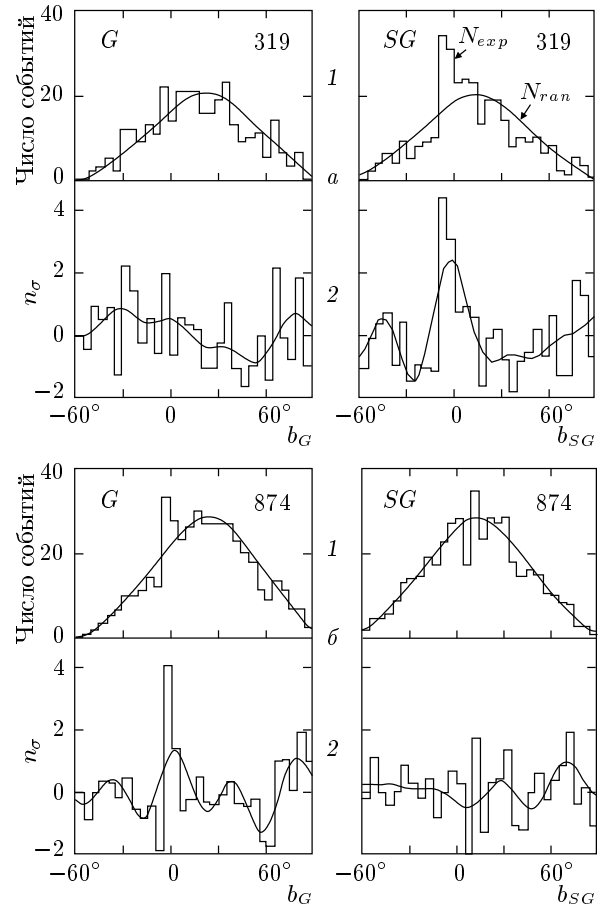


**Рис. 1.** а) Доля первичных частиц от общего числа, приходящих из экваториальных областей ( $|b| \leq 10^\circ$ ) Галактики ( $G$ ) и Сверхгалактики ( $SG$ ) в зависимости от их энергии. Линии — ожидаемые величины для изотропного потока, вычисленного методом Монте-Карло. б) Энергетический спектр первичных частиц  $J(E) \propto E^{-\gamma}$ , измеренный на Якутской установке [11]. Линии — изменения интенсивностей по степенному закону: 1 —  $E_0 < 10^{18.0}$  эВ ( $\gamma_1 = -3.05 \pm 0.04$ ); 2 —  $10^{18} \leq E_0 < 10^{19.0}$  эВ ( $\gamma_2 = -3.34 \pm 0.05$ ); 3 —  $E_0 \geq 10^{19.0}$  эВ ( $\gamma_3 = -2.53 \pm 0.25$ ); кривые 1' и 3' — предполагаемые галактическая и внегалактическая компоненты

где  $\rho_{s,600}(\theta)$  — плотность заряженных частиц, измеряемая наземными сцинтилляционными детекторами на расстоянии  $R = 600$  м от оси ливня.

На рис. 1а показана доля первичных частиц  $r = N(|b_{G(SG)}| \leq 10^\circ) / N_{all}$  от общего их числа  $N_{all}$ , приходящих из экваториальных областей ( $|b_{G(SG)}| \leq 10^\circ$ ) Галактики ( $G$ ) и Сверхгалактики ( $SG$ ) в зависимости от энергии  $E_0$ . Линии соответствуют ожидаемым величинам для изотропного потока, вычисленного методом Монте-Карло. Северный полюс Сверхгалактики имеет галактические координаты  $b_G = 6.32^\circ$  и  $l_G = 47.37^\circ$  [10]. На рис. 1б показан энергетический спектр космических лучей, измеренный на Якутской установке [11].

Видна тенденция к систематическому увеличению величины  $r_{SG}$  с ростом энергии при  $E_0 \geq$



**Рис. 2.** Кривые 1 — распределения ливней с  $E_0 \geq 8 \cdot 10^{18}$  эВ (а) и  $E_0 = (3-4) \cdot 10^{18}$  эВ (б) в зависимости от широты их прихода в галактических ( $G$ ) и сверхгалактических ( $SG$ ) координатах:  $N_{exp}$  — эксперимент;  $N_{ran}$  — ожидаемое распределение для изотропного потока; цифры — количество ливней. Гистограммы 2 — отклонения  $n_\sigma = (N_{exp} - N_{ran}) / \sqrt{N_{ran}}$ ; плавные кривые 2 — изменения в среднем

$\geq 5 \cdot 10^{18}$  эВ, хотя статистические точности недостаточно велики. Что касается Галактики, то здесь, на первый взгляд, отсутствует избыточный поток со стороны диска. Однако обращает на себя внимание слабое увеличение  $r_G$  при  $E_0 \leq 4 \cdot 10^{18}$  эВ, которое (как будет показано ниже) все же свидетельствует об определенной роли диска Галактики в происхождении частиц указанных энергий.

Рассмотрим этот вопрос более подробно. На рис. 2а представлены распределения по направлениям прихода 319 ливней с  $E_0 \geq 8 \cdot 10^{18}$  эВ в галактических и сверхгалактических координатах в зависимости от широты прихода (с шагом  $\Delta b = 5^\circ$ ). В верху (1) показаны наблюдаемые ( $N_{exp}$ ) и ожидаемые

( $N_{ran}$ ) распределения, а внизу (2) — отклонения числа измеренных событий от ожидаемого в единицах стандарта  $\sigma = \sqrt{N_{ran}}$ ;  $n_\sigma = (N_{exp} - N_{ran})/\sigma$ . Кривые на рис. 2а (2) соответствуют поведению  $n_\sigma$  в среднем при сглаживании рядом Фурье с числом гармоник 5.

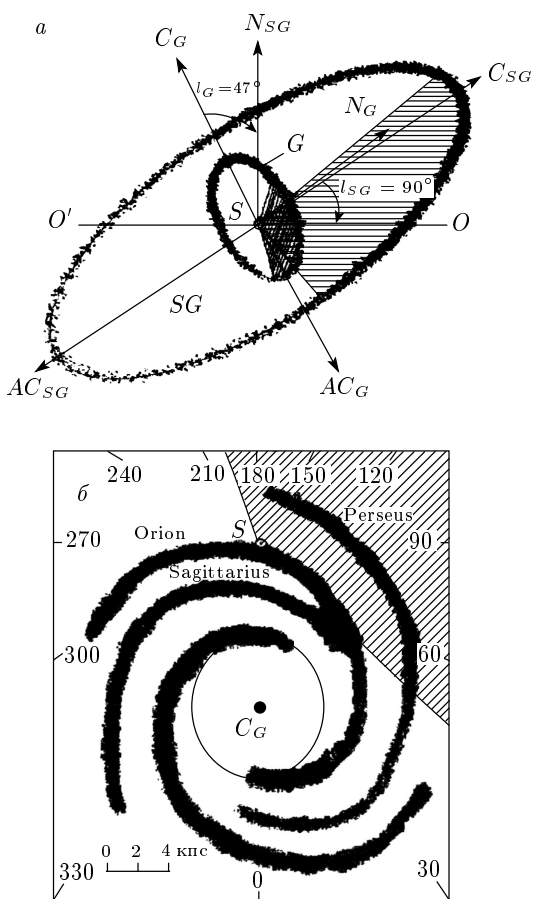
Значения  $N_{ran}$  находились розыгрышем рассматриваемого числа ливней, распределенных случайным образом по небесной сфере. Делалось это следующим образом. Для каждого измеренного ливня путем замены его реальных времени прихода и азимута (в горизонтальной системе координат установки) на случайные находилось по 500 направлений в галактических (сверхгалактических) координатах. Полученные таким образом распределения случайных событий нормировались затем по абсолютной величине на реальные.

Видно, что в плоскости Сверхгалактики имеется существенный избыток событий. Так, в полосе широт  $\Delta b_{SG} = -10\text{--}0^\circ$  находятся 65 ливней (ожидается 35), с превышением  $(65 - 35)/\sqrt{35} \approx 5\sigma$ . Плоскость Галактики в этом диапазоне энергий себя никак не проявляет, если не считать, что в полосе  $\Delta b_G = -5\text{--}0^\circ$  есть слабый ( $\approx 2\sigma$ ) положительный выброс.

На рис. 2б показаны распределения направлений прихода 874 ливней с  $E_0 = (3\text{--}4) \cdot 10^{18}$  эВ. Они имеют относительный максимум величины  $r_G$  по сравнению с ожидаемым изотропным потоком (рис. 1а). У этих событий в плоскости Галактики ( $|b_G| \leq 5^\circ$ ) наблюдается заметный пик с превышением над ожидаемой величиной на  $(121\text{--}87)/\sqrt{87} \approx 3.6\sigma$ . Что касается Сверхгалактики, то она в этом диапазоне энергий себя не проявляет.

Из приведенных выше данных возникает следующая картина. В области энергий с  $E_0 \leq (6 - 8) \cdot 10^{18}$  эВ первичные частицы, вероятно, генерируются, главным образом, в Галактике. Увеличение их доли в диске ( $r_G$ ) можно интерпретировать как уменьшение «размытия» магнитным полем Галактики направленного движения частиц из этой области. Резкая смена формы энергетического спектра (рис. 1б) и сильная корреляция направлений прихода частиц с плоскостью Сверхгалактики при  $E_0 \geq (0.8 - 1) \cdot 10^{19}$  эВ говорят об их преимущественно внегалактическом происхождении.

Плоскость Галактики расположена почти перпендикулярно плоскости Сверхгалактики (рис. 3а). Воспользуемся этим обстоятельством, чтобы уточнить некоторые детали рис. 2. На рис. 4 показаны распределения без событий с  $|b_{SG(G)}| \leq 10^\circ$  в плоско-



**Рис. 3.** а) Схема взаимного расположения Млечного пути Галактики ( $G$ ) и Млечного пути Сверхгалактики ( $SG$ ):  $C_G$  ( $C_{SG}$ ) — центры;  $AC_G$  ( $AC_{SG}$ ) — антицентры;  $N_G$  ( $N_{SG}$ ) — Северные полюсы;  $OO'$  — линия пересечения плоскостей;  $S$  — точка наблюдения; заштрихованные секторы — видимые области для Якутской установки ШАЛ. б) Схема спиральной структуры Галактики [12]

сти Сверхгалактики (Галактики). Видно, что распределения на рис. 2 и 4 схожи между собой, но последние имеют более сильную корреляцию в отмеченных выше случаях. Так, в полосе широт Сверхгалактики  $\Delta b_{SG} = -10\text{--}0^\circ$  при  $E_0 \geq 8 \cdot 10^{18}$  эВ находится 56 ливней (ожидается 28), с превышением  $(56 - 28)/\sqrt{28} \approx 5.3\sigma$ , а в плоскости Галактики ( $|b_G| \leq 5^\circ$ ) при  $E_0 = (3\text{--}4) \cdot 10^{18}$  эВ виден пик с превышением на  $(105\text{--}68)/\sqrt{68} \approx 4.5\sigma$ . На рис. 5 показаны направления прихода ливней с  $E_0 = (3\text{--}4) \cdot 10^{18}$  эВ на небесной сфере в галактических ( $G$ ) и сверхгалактических ( $SG$ ) координатах.

Такое усиление корреляций на первый взгляд кажется странным, особенно в случае Галактики при  $E_0 = (3 - 4) \cdot 10^{18}$  эВ. Какое влияние на нее может

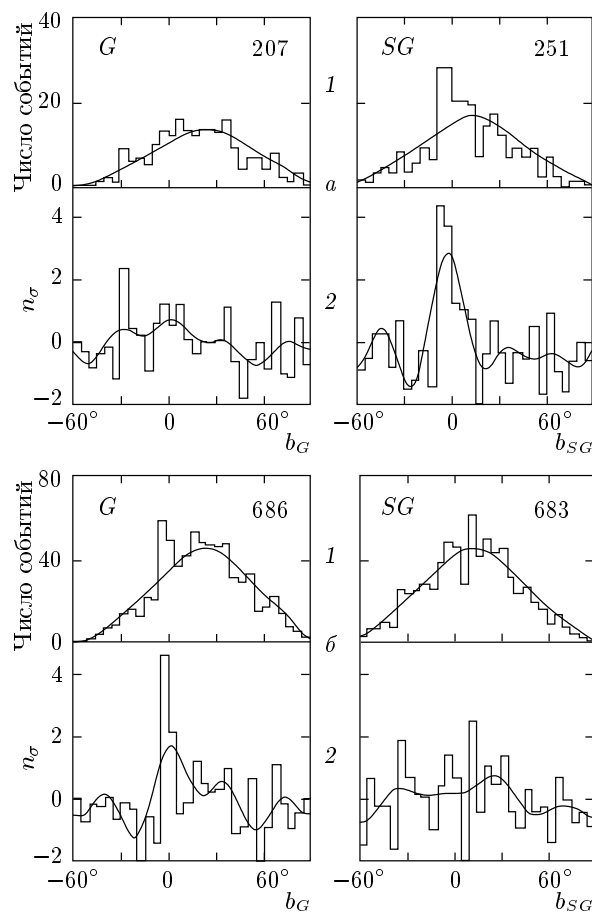


Рис. 4. Распределения, представленные на рис. 2, но без событий в полосе  $|b_{SG(G)}| \leq 10^\circ$

оказать Сверхгалактика гораздо большего объема, включающая в себя Галактику как часть? Это возможно лишь в том случае, если частицы указанных энергий генерируются также вне Галактики.

В этой связи большой интерес вызывают распределения событий в полосе широт с  $|b_{SG(G)}| \leq 10^\circ$ . Они показаны на рис. 6 и 7. Видно, что все распределения на рис. 6 оказались другими. Во-первых, они сильно отличаются от ожидаемых для случайных событий. Так, ливни на рис. 6a(G) дают  $\chi^2 = 50$  для  $n = 30$  степеней свободы (вероятность случайности  $P \approx 10^{-2}$ ), а на рис. 6a(SG) —  $\chi^2 = 55$  ( $P \approx 3.5 \cdot 10^{-3}$ ). На рис. 6б имеем для Галактики (G)  $\chi^2 = 77$  ( $P < 10^{-5}$ ) и Сверхгалактики  $\chi^2 = 85$  ( $P < 10^{-5}$ ). Во-вторых, они совершенно не похожи на распределения рис. 2. Этот результат кажется неожиданным, если полагать, что данные на рис. 6 являются лишь частью общей выборки событий рис. 2.

Вернемся к распределению направлений прихода

ливней на рис. 7. Так как плоскости Сверхгалактики и Галактики расположены почти перпендикулярно, события в полосе  $|b_{SG}| \leq 10^\circ$  с разными  $b_G$  (рис. 6G) фактически являются их распределением вдоль диска Сверхгалактики по долготе  $l_{SG}$ . И наоборот, распределение событий в полосе  $|b_G| \leq 10^\circ$  с разными  $b_{SG}$  (рис. 6SG) являются их распределением вдоль диска Галактики по долготе  $l_G$ . Отсчет  $l_{SG}$  ведется от направления на центр Сверхгалактики по ходу часовой стрелки (рис. 3a).

Представленные в координатах долготы распределения направлений прихода ливней из дисков ( $|b| \leq 10^\circ$ ) Сверхгалактики и Галактики показаны на рис. 8. Данные на рис. 8a(SG) можно интерпретировать следующим образом. В обозреваемом секторе диска Сверхгалактики ( $l_{SG} \approx 0\text{--}130^\circ$ ) относительная интенсивность космических лучей с  $E_0 \geq 5 \cdot 10^{18}$  эВ меняется плавно (сплайн-кривая на рис. 8a2). Увеличение потока при  $l_{SG} \approx 90^\circ$ , где пересекаются плоскости Сверхгалактики и Галактики, происходит, скорее всего, из-за дополнительного вклада частиц из диска Галактики. Пик на рис. 8a2(G) при  $l_G \approx 137^\circ$  также обусловлен пересечением этих плоскостей.

Теперь проанализируем данные на рис. 8б, где представлены ливни с  $E_0 = (2.5\text{--}4) \cdot 10^{18}$  эВ. Первый пик в диске Галактики (распределение величин  $n_\sigma$ ) при  $l_G \approx 70^\circ$  обусловлен, по-видимому, повышенным потоком частиц из выхода Местного рукава Галактики. Это хорошо видно на рис. 3б, где схематически изображена спиральная структура Галактики [12]. Обозреваемый Якутской установкой сектор диска Галактики зачернен. Четвертый пик при  $l_G \approx 180^\circ$  вызван более высокой интенсивностью из антицентра, где поглощение частиц в диске наименьшее. Это вполне возможно, если частицы приходят также извне Галактики.

Что касается пиков при  $l_G \approx 110$  и  $155^\circ$ , то их можно связать с другими рукавами Галактики. На рис. 9д показаны магнитные поля рукавов в диске Галактики [13]. Светлые кружки указывают на ориентацию поля навстречу наблюдателю, темные — от наблюдателя. Напряженность пропорциональна размерам кружков.

На рис. 9 показаны распределения величин  $n_\sigma$  для ливней, приходящих из экваториальной области ( $|b_G| \leq 10^\circ$ ) Галактики с разными энергиями, в зависимости от долготы  $l_G$ . Взяты события с зенитными углами  $\theta \leq 60^\circ$  и осьми ливней внутри всего периметра Якутской установки. Плавными кривыми изображены сплайн-функции ряда Фурье с числом гармоник  $m = 13$ .

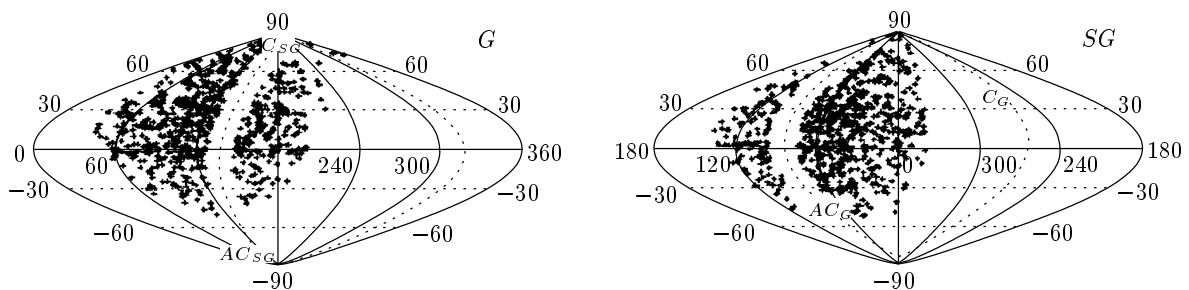


Рис. 5. Направления прихода 686 ливней с  $E_0 = (3 - 4) \cdot 10^{18}$  эВ на небесной сфере в галактических ( $G$ ) и сверхгалактических ( $SG$ ) координатах без событий в полосе  $|b_{SG(G)}| \leq 10^\circ$

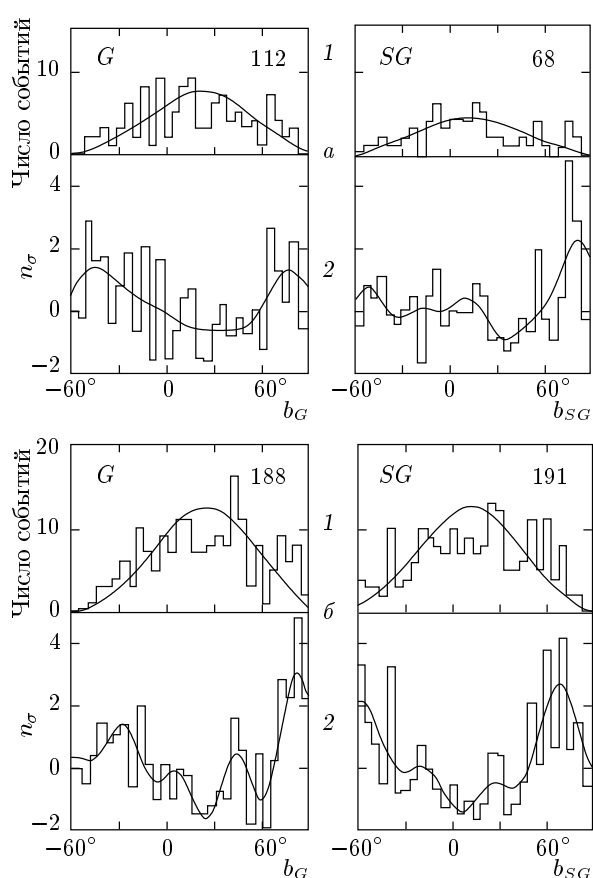


Рис. 6. Распределения событий в полосе  $|b_{SG(G)}| \leq 10^\circ$

Обращает на себя внимание последовательная смена отдельных фрагментов гистограмм. Так, отмеченный выше избыток частиц из антицентра при  $E_0 = (2.5 - 4) \cdot 10^{18}$  эВ наблюдается и при больших энергиях (рис. 9a). При  $E_0 < 2.5 \cdot 10^{18}$  эВ он слабеет (рис. 9б) и в области  $E_0 \approx (1 - 1.5) \cdot 10^{18}$  эВ исчезает полностью (рис. 9г). В направлении  $l_G \approx 75^\circ$ ,

наоборот, при  $E_0 \geq 5 \cdot 10^{18}$  эВ имеется провал, который с уменьшением энергии первичных частиц до  $E_0 \approx 2 \cdot 10^{18}$  эВ переходит в пик (рис. 9в). Особенno выделяются по величине пики в секторе  $\Delta l_G \approx 105 - 145^\circ$  у событий с  $E_0 < 4 \cdot 10^{18}$  эВ (рис. 9б-г). При  $E_0 = (2.5 - 4) \cdot 10^{18}$  эВ превышение наблюдаемого числа событий 690 над ожидаемым 581 для изотропного распределения в этом секторе составляет  $(690 - 581)/\sqrt{581} \approx 4.6\sigma$ .

Местоположения отмеченных выше пиков коррелируют с расположением магнитных рукавов Галактики (рис. 9д). Поэтому не исключено, что сами пики и динамика их изменений при  $E_0 < 4 \cdot 10^{18}$  эВ вызваны активностью этих рукавов. В разных интервалах энергий роль отдельных рукавов в происхождении космических лучей, по-видимому, разная.

В области энергий  $E_0 \geq 4 \cdot 10^{18}$  эВ вклад Галактики, судя по всему, не так велик. Провал на рис. 9д при  $l_G \approx 75^\circ$  связан, скорее всего, с относительно более сильным поглощением частиц внегалактического происхождения рукавом Ориона (см. рис. 3б) по сравнению с прилегающими к нему участками диска Галактики. Обращает на себя внимание на рис. 9б провал при долготе  $l_G \approx 137^\circ$ , который соответствует линии пересечения плоскостей Галактики и Сверхгалактики (линия  $SO$  на рис. 3а). Можно предположить, что он вызван повышенным потоком частиц из прилегающих к экватору Сверхгалактики областей из-за относительно более сильного их поглощения в самом диске Сверхгалактики.

Данные на рис. 8б2( $SG$ ) показывают, что события в полосе  $|b_{SG}| \leq 10^\circ$  при пересечении с диском Галактики при  $l_{SG} \approx 90^\circ$  также имеют провал. Его можно объяснить относительно более сильным поглощением частиц, приходящих извне Галактики, в диске Галактики по сравнению с прилегающими к нему областями. В направлении на центр Сверхгалактики ( $l_{SG} \approx 0^\circ$ ) наблюдается четко выраженный

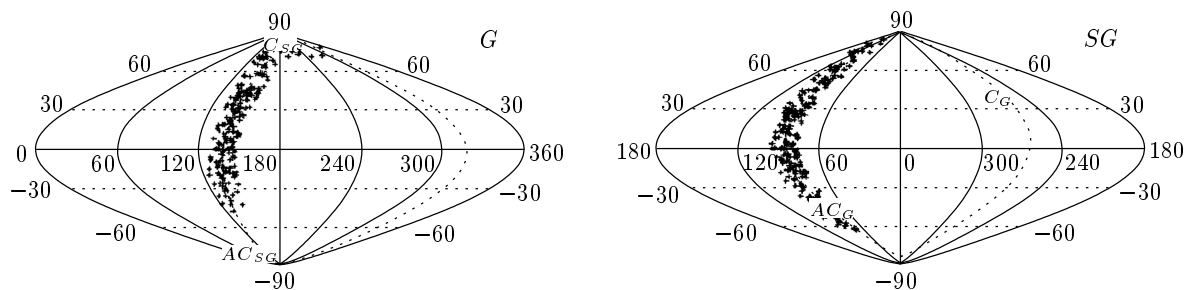


Рис. 7. Направления прихода 194 ливней с  $E_0 = (3 - 4) \cdot 10^{18}$  эВ на небесной сфере в галактических ( $G$ ) и сверхгалактических ( $SG$ ) координатах для событий в полосе  $|b_{SG(G)}| \leq 10^\circ$

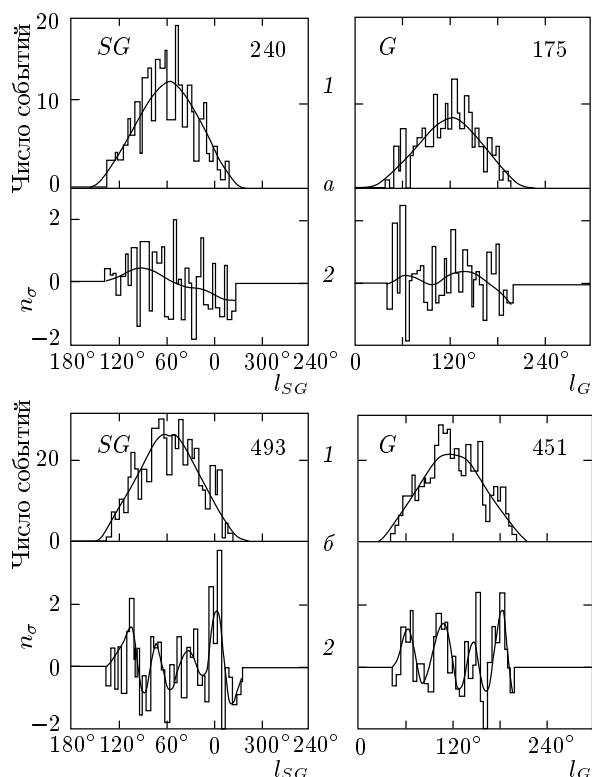


Рис. 8. Распределения ливней с энергией  $E_0 \geq 5 \cdot 10^{18}$  эВ (a) и  $E_0 = (2.5-4) \cdot 10^{18}$  эВ (б), приходящих из дисков ( $|b| \leq 10^\circ$ ) Галактики ( $G$ ) и Сверхгалактики ( $SG$ ) в зависимости от долготы их прихода. Обозначения аналогичны рис. 2

пик с превышением над ожидаемой величиной для случайного распределения  $(46 - 25)/\sqrt{25} \approx 4\sigma$  (в угловом секторе  $\Delta l_{SG} = 15^\circ$ ).

Исходя из того, что на рис. 862( $SG$ ) проявляется определенная структура Сверхгалактики, приходится допускать возможным существование частиц с энергиями  $E_0 = (2.5 - 4) \cdot 10^{18}$  эВ внегалактическо-

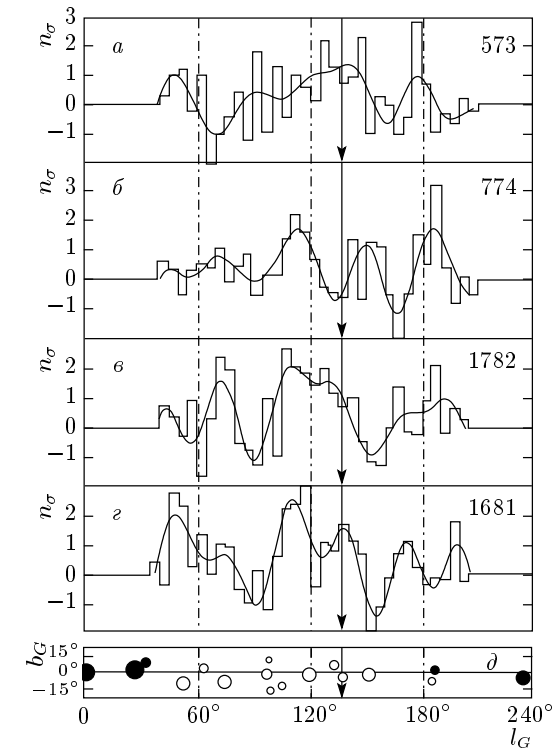
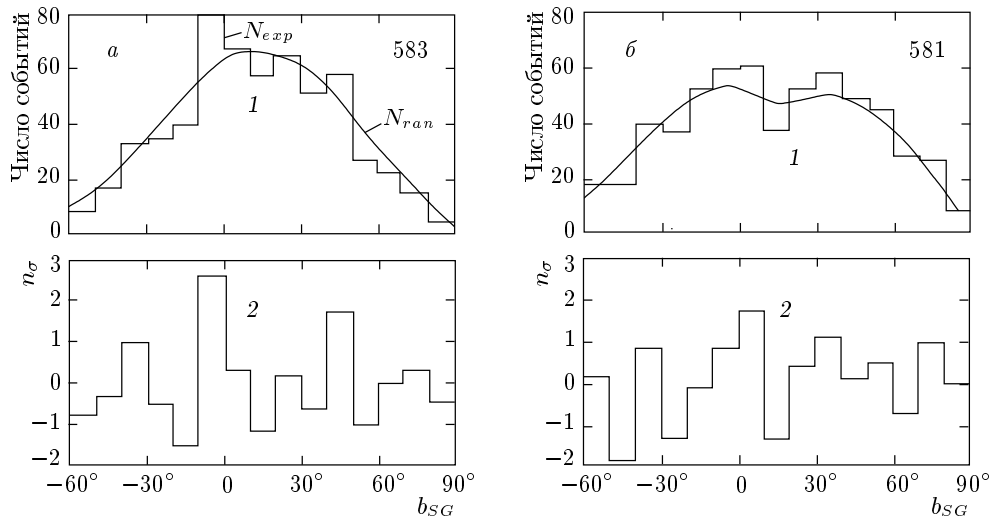


Рис. 9. Распределения ливней, приходящих из диска Галактики ( $|b_G| \leq 10^\circ$ ), по долготе в зависимости от их энергии:  $E_0 \geq 10^{18.6}$  эВ (a),  $E_0 = 10^{18.4-18.6}$  эВ (б);  $E_0 = 10^{18.2-18.4}$  эВ (в);  $E_0 = 10^{18.0-18.2}$  эВ (г); д — расположения магнитных рукавов Галактики [13]: о — поле направлено навстречу наблюдателю; • — от наблюдателя. Стрелки — линия пересечения плоскостей Галактики и Сверхгалактики ( $l_G \approx 137^\circ$ ); цифры — числа событий

го происхождения. А если это так, то их доля может оказаться сравнимой с вкладом Галактики. Предположим, что она составляет половину. Тогда энергетический спектр на рис. 1б можно представить как



**Рис. 10.** Кривые 1 — распределения ливней с  $E_0 \geq 10^{19}$  эВ в зависимости от широты их прихода в сверхгалактических координатах (1) по данным Якутской установки (а) и AGASA [6] (б); гистограммы 2 — отклонения  $n_\sigma = (N_{exp} - N_{ran})/\sqrt{N_{ran}}$  (обозначения см. на рис. 2)

сумму галактической (1') и внегалактической (3') компонент. Спектр 1' не противоречит гипотезе [14] о том, что галактические первичные частицы могут быть преимущественно нейтронами с таким по форме спектром. На это указывает обнаруженное в [14] на установке AGASA избыточное излучение вблизи центра Галактики с превышением на  $4.1\sigma$  над ожидаемым изотропным потоком. Этот результат подтвердил и уточнила группа SUGAR [15]. Якутская установка, к сожалению, центр Галактики не видит.

Отмеченные выше факты заметных корреляций направлений прихода космических лучей с плоскостями Галактики и Сверхгалактики стали возможны благодаря огромной статистике зарегистрированных на Якутской установке ливней (около 37000 при  $E_0 \geq 10^{18}$  эВ) и жесткому их отбору при анализе. На установке AGASA, схожей с нашей по типу детекторов и методики обработки ливней, аналогичных результатов пока нет. В работе [6] лишь обращается внимание на то, что при  $E_0 \geq 4 \cdot 10^{19}$  эВ вблизи плоскости Сверхгалактики обнаружены два кластера.

На первый взгляд, результаты исследований на Якутской установке и AGASA не согласуются между собой с точки зрения ответа на вопрос о возможной роли Сверхгалактики в происхождении космических лучей предельно высоких энергий. Однако здесь нет противоречия. Это следует из рис. 10, где приведены распределения направлений прихода ливней с  $E_0 \geq 10^{19}$  эВ в сверхгалактических координатах (с шагом  $\Delta b_{SG} = 10^\circ$ ) по данным обеих устан-

новок. Распределение, аналогичное измеренному на установке AGASA, получено нами как сумма трех распределений, представленных в работе [6]. Гистограммами 2 показаны  $n_\sigma$  — отклонения числа измеренных событий от ожидаемых для изотропных потоков (аналогичные рис. 2 б). Количество рассмотренных событий одинаково. В нашем случае взяты ливни с  $\theta \leq 60^\circ$ , зарегистрированные всей площадью (даже с осями, выходящими за периметр установки).

Видно, что, хотя исходные распределения 1 на рис. 10 разные, распределения 2 схожи между собой. Отметим некоторые важные детали. Во-первых, на каждом из распределений 2 наблюдаются в полосе широт  $|b_{SG}| \leq 10^\circ$  превышения зарегистрированных событий над ожидаемыми на  $(1.8\text{--}2.1)\sigma$ . Во-вторых, симметрично плоскости Сверхгалактики при  $|b_{SG}| \approx 10\text{--}20^\circ$  имеются дефициты событий (провалы) величиной около  $-1.5\sigma$ . На фоне этих провалов пики избыточного излучения из плоскости Сверхгалактики становятся более значимыми. В какой-то мере совпадают между собой и другие детали распределений 2. Это говорит о неслучайном их характере.

Из сравнения наших данных на рис. 2 и 10 видна нецелесообразность выбора шага  $\Delta b_{SG} = 10^\circ$ , так как это приводит к заниженной значимости полученных результатов. Реальная точность эксперимента, особенно при жестком отборе событий для анализа, не хуже  $1\text{--}2^\circ$ .

Из факта существования корреляции направлений прихода первичных частиц при  $E_0 \geq 8 \cdot 10^{18}$  эВ с диском Сверхгалактики следует, что частицы внегалактического происхождения должны быть электрически нейтральными. В противном случае при наличии электрического заряда  $z$  они в зависимости от энергии  $E_0$  должны были бы двигаться в магнитном поле по траекториям с радиусом кривизны

$$R = E_0 / 300 \text{ Hz}. \quad (4)$$

Даже протоны с энергиями порядка  $10^{19}$  эВ имели бы в магнитном поле Галактики ( $H \approx 3 \cdot 10^{-6}$  Гс) радиус кривизны примерно 3 кпк, значительно меньший радиуса диска Галактики ( $\approx 15$  кпк). Межгалактические магнитные поля тоже, хотя они и слабые ( $H \approx 9 \cdot 10^{-10}$  Гс), для протонов указанных энергий дают  $R \approx 10$  Мпк, что гораздо меньше диаметра Сверхгалактики ( $\approx 60$  Мпк). В этих условиях космические лучи «забыли» бы места своего образования и утратили бы связь по направлению движения со структурой Галактики и Сверхгалактики, что не наблюдается.

Такими частицами вряд ли могут быть нейтроны. При  $E_0 \sim 10^{19}$  эВ они имеют лоренц-фактор порядка  $10^{10}$  и в состоянии преодолеть до своего распада расстояние порядка 100 кпк, которое во много раз меньше размера Сверхгалактики. Скорее всего, это должны быть какие-то иные нейтральные частицы. К такому выводу мы пришли в результате комплексного анализа пространственно-временной структуры ШАЛ по данным Якутской установки [16–18]. В этих работах показано, что при  $E_0 \leq (1 - 3) \cdot 10^{18}$  эВ экспериментальные данные согласуются с расчетами по модели QGSJET [19] в предположении меняющегося состава первичных частиц от смеси, обогащенной при  $E_0 \sim 10^{17}$  эВ тяжелыми ядрами ( $z = 10 - 30$  составляют  $63 \pm 7\%$  [20]), к более легкой с преобладанием при  $E_0 \sim 10^{18}$  эВ протонов. В области энергий  $E_0 \geq (3 - 5) \cdot 10^{18}$  эВ ливни развиваются по-другому. Они существенно меняют свою поперечную структуру. Эти изменения не находят своего объяснения в рамках модели QGSJET (ни при каком составе первичных частиц от протонов до ядер железа) и требуют иных представлений о развитии ШАЛ в области предельно высоких энергий.

### 3. ЗАКЛЮЧЕНИЕ

Из приведенных выше данных видно, что космические лучи с энергиями  $E_0 \approx (3 - 5) \cdot 10^{18}$  эВ имеют корреляции по направлениям прихода с Галактикой и Сверхгалактикой. Это дает некоторое

основание полагать, что частицы таких энергий могут быть как галактического, так и внегалактического происхождения. Что касается области энергий  $E_0 \geq 8 \cdot 10^{18}$  эВ, то здесь имеются определенные указания на их преимущественно внегалактическое происхождение.

Изложенные выше факты и результаты [16–18] говорят в пользу гипотезы о возможном существовании в первичном излучении внегалактического происхождения предельно высоких энергий нейтральных частиц. На своем пути к Земле они «просвечивают» крупномасштабную структуру Вселенной, охватывая, возможно, объем гораздо больший, чем размеры Сверхгалактики.

Работа выполнена при финансовой поддержке Министерства науки России Якутской комплексной установки ШАЛ (регистр. № 01-30), включенной в «Перечень уникальных научно-исследовательских и экспериментальных установок национальной значимости».

### ЛИТЕРАТУРА

1. J. Szabelsky, J. Wdowczyk, and A. W. Wolfendale, *J. Phys. G* **12**, 1433 (1986).
2. B. N. Afanasiev, M. N. Dyakonov, T. A. Egorov et al., in *Proc. 24-th Int. Conf. on Cosmic Rays*, Rome (1995), vol. 2, p. 756.
3. T. Stanev, P. L. Bierman, J. Lloyd-Evans et al., *Phys. Rev. Lett.* **75**, 3056 (1995).
4. А. А. Иванов, А. Д. Красильников, С. И. Никольский, М. И. Правдин, Изв. РАН, серия физ. **61**, 520 (1997).
5. А. А. Михайлов, Изв. РАН, серия физ. **63**, 557 (1999).
6. M. Takeda, N. Hayashida, K. Honda et al., *Astrophys. J.* **522**, 225 (1999).
7. А. В. Глушков, Письма в ЖЭТФ **48**, 513 (1988).
8. А. В. Урысон, ЖЭТФ **116**, 1121 (1999).
9. А. В. Глушков, И. Е. Слепцов, Изв. РАН, серия физ. **65**, 437 (2001).
10. A. Hewitt and G. Burbidge, *Astrophys. J. Suppl. Series* **63**, 1–246 (1987).
11. M. I. Pravdin, M. N. Dyakonov, A. V. Glushkov et al., in *Proc. 26-th Int. Conf. on Cosmic Rays*, Salt Lake City (1999), vol. 3, p. 292.

12. Y. M. Georgelin and Y. P. Georgelin, Map in *Cambridge Atlas of Astronomy*, ed. by J. Audouze and G. Israel, Cambridge University Press (1988), p. 308.
13. A. G. Lyne and F. Graham-Smith, *Pulsar Astronomy*, Cambridge University Press (1990).
14. N. Hayashida, M. Nagano, D. Nishikawa et al., Astropart. Phys. **10**, 303 (1999).
15. J. A. Bellido, R. W. Clay, B. R. Dawson, and M. Johnston-Hollitt, E-print archive, astro-ph/0009039 (2000).
16. А. В. Глушков, В. Б. Косарев, И. Т. Макаров и др., Письма в ЖЭТФ **67**, 361 (1998).
17. А. В. Глушков, И. Т. Макаров, М. И. Правдин и др., Письма в ЖЭТФ **71**, 145 (2000).
18. А. В. Глушков, М. И. Правдин, И. Е. Слепцов и др., ЯФ **63**, 1557 (2000).
19. N. N. Kalmikov, G. B. Khristiansen, S. S. Ostapenko, A. I. Pavlov, in *Proc. 24-th Int. Conf. on Cosmic Rays*, Rome (1995), vol. 1, p. 123.
20. Е. А. Вишневская, Н. Н. Калмыков, Г. В. Куликов и др., ЯФ **62**, 300 (1999).